

การวิเคราะห์โครงข้อแข็งในช่วงอีลาสติกและพลาสติกโดยใช้เทคนิคของโครงสร้างย่อย



นายชัยโรจน์ สารไพบูล

004081

วิทยานิพนธ์นี้ เป็นส่วนหนึ่งของการศึกษาตามหลักสูตรปริญญาวิศวกรรมศาสตรมหาบัณฑิต

ภาควิชาวิศวกรรมโยธา

บัณฑิตวิทยาลัย จุฬาลงกรณ์มหาวิทยาลัย

พ.ศ. 2524

工15512022

ELASTIC-PLASTIC ANALYSIS OF FRAMES USING THE SUBSTRUCTUE TECHNIQUE

Mr. Chairote Jakpaisan

A Thesis Submitted in Partial Fulfillment of the Requirements

for the Degree of Master of Engineering

Department of Civil Engineering

Graduate School

Chulalongkorn University

1981

Thesis Title Elastic-Plastic Analysis of Frames Using the
 Substructuring Technique

By Mr. Chairote Jakpaisan

Department Civil Engineering

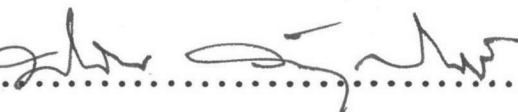
Thesis Advisor Associate Professor Panitan Lukkunaprasit, Ph.D.

Accepted by the Graduate School, Chulalongkorn University in
partial fulfilment of the requirements for the Master's degree.


..... Dean of Graduate School
(Associate Professor Supradit Bunnag, Ph.D)

Thesis Committee


..... Chairman
(Associate Professor Vinit Chovichien, Ph.D.)


..... Member
(Associate Professor Panitan Lukkunaprasit, Ph.D.)


..... Member
(Assistant Professor Thaksin Thepchatri, Ph.D.)


..... Member
(Assistant Professor Karoon Chandangsue, Ph.D.)

หัวข้อวิทยานิพนธ์

การวิเคราะห์โครงข้อแข็งในช่วงอีลาสติก-พลาสติกโดยใช้เทคนิคของโครงสร้างยื่อย

ชื่อนิสิต

นายชัยโรจน์ จารุไพบูลย์

อาจารย์ที่ปรึกษา

รองศาสตราจารย์ ดร.ปนิธาน สักคุณประสีห์

ภาควิชา

วิศวกรรมโยธา

ปีการศึกษา

2523

บหศดยอ



การวิจัยนี้ได้เสนอวิธีการไฟในท่อ เเละ เมนต์สำหรับวิเคราะห์โครงข้อแข็งอีลาสติก-พลาสติก อย่างสมบูรณ์โดยใช้เทคนิคของโครงสร้างยื่อย สมการของการเคลื่อนที่ของระบบโครงสร้างยื่อยได้สร้างขึ้นจากการใช้หลักการของงานสมมติ การศึกษานี้ได้ใช้ทุนจำลองอีลาสติกวิสโคลาสติกชนิดไม่มีขอบเขต ครอบคลุมอย่างแน่นอน ซึ่งนำไปสู่วิธีการที่สามารถใช้ความสัมพันธ์ระหว่างระเบียบการ เคลื่อนที่ที่ไม่อิสระกับระเบียบการ เคลื่อนที่อิสระคงที่ เสมอในขณะที่อยู่ในช่วงพลาสติก ด้วยการวิเคราะห์ทางสถิติแสดงว่าสามารถใช้วิธีนี้ท่านายค่าน้ำหนักบรรทุกประสาทได้ผลลัพธ์ เอียง พอก ในทางปฏิบัติ และการวิเคราะห์ทางพลศาสตร์ ก็สามารถหาการตอบสนองของโครงสร้างได้ดีโดยการใช้รูปแบบพิกัดการเคลื่อนที่ตัว ฯ เพียงไม่กี่รูปแบบ เท่านั้น รูปแบบพิกัดสูง ๆ ที่มีความคลาดเคลื่อนมากไม่ควรรวมไว้ในกำหนดการ

Thesis Title Elastic-Plastic Analysis of Frames Using the Substructuring
Technique

Name Mr. Chairote Jakpaisan

Thesis Advisor Associate Professor Panitan Lukkunaprasit, Ph.D.

Department Civil Engineering

Academic Year 1980

ABSTRACT

A finite element formulation is presented for the analysis of elastic-perfectly plastic plane frames with substructuring. The Principle of Virtual Work is applied to obtain incremental equations of motion of the substructured system. An elastic-viscoplastic model without a definite yield surface is included in this study, which naturally leads to a formulation with constant displacement transformation matrices between the slave and master degrees-of-freedom in a substructure analysis involving plastic deformation. An example of static analysis shows that the static collapse load may be predicted with practical accuracy. In dynamic analyses it was found that inclusion of a few lower modes gave good results in predicting dynamic responses. Higher modes which contain much error should not be included in the computation.



ACKNOWLEDGEMENTS

The author wishes to express his deep appreciation to his advisor, Assoc. Prof. Dr. Panitan Lukkunaprasit, for his helpful supervision throughout this study. Thanks are also due to his Thesis Committee, Assoc. Prof. Dr. Vinit Chovichien, Asst. Prof. Dr. Karoon Chandrangsu and Asst. Prof. Thaksin Thepchatri.

This work is partially financed by The National Research Council of Thailand. Finally, the author is grateful to his parents and wife for their encouragement.

TABLE OF CONTENTS

	Page
Title Page in Thai	i
Title Page in English	ii
Thesis Approval	iii
Abstract in Thai	iv
Abstract in English	v
Acknowledgement	vi
Table of Contents	vii
List of Figures	ix
List of Tables	xi
List of Symbols	xii

CHAPTER

I INTRODUCTION	1
II FINITE ELEMENT FORMULATION	5
2.1 Constitutive Relation for An Elastic-Viscoplastic Material	5
2.2 Incremental Equations of Motion of an Elastic- Viscoplastic System	7
2.3 Incremental Equations of Motion For the Substructured System	9
2.4 Simplified Displacement Transformation Matrix for Mass Condensation of a Planar Frame	16

	Page
III SOLOTION IN MODAL CO-ORDINATES FOR PLANAR FRAMES ..	18
3.1 Transformation to Modal Co-ordinates	18
3.2 Formulation in Terms of Stress Resultants For Planar Frames	19
3.3 Programming Technique in Evaluating the Reduced Internal Static Forces	22
3.4 Convergence Criteria	23
IV NUMERICAL EXAMPLES AND RESULTS	24
4.1 Static Collapse Load of a Vierendeel Girder ...	24
4.2 Five-Story Frame Subjected to a Sinusoidal Ground Acceleration	26
4.3 Ten-Story Frame Subjected to a Sinusoidal Ground Acceleration	28
4.4 Twenty-Story Frame Subjected to 1940 EL Centro Earthquake	29
V CONCLUSIONS	32
REFERENCES	33
FIGURES	36
TABLES	49
VITA	54

LIST OF FIGURES

Figure	Title	Page
1	The $k^{\underline{th}}$ Substructure	36
2(a)	Example 1: Vierendeel Girder - Geometry and Loading	36
2(b)	do. - Vertical Displacement at Mid Span	37
2(c)	do. - Error in Vertical Reactions	37
2(d)	do. - Collapse Mechanism	38
3(a)	Example 2: Five-Story Frame - Geometry	38
3(b)	do. - Full System Model	38
3(c)	do. - Substructure Model	38
3(d)	do. - Response of Moment at the End of Second Floor Beam	39
4(a)	Example 3: Ten-Story Frame - Geometry	40
4(b)	do. - Full System Model	40
4(c)	do. - Model 10 A	40
4(d)	do. - Model 10 B	40
4(e)	do. - Horizontal Displacement Response at Top Story of the Full System Analyses	41
4(f)	do. - Horizontal Displacement Response at Top Story	42
4(g)	do. - Response of Moment at Column Base	43

Figure	Title	Page
4(h)	Example 3: Ten-Story Frame - Response of Moment at the End of Second Floor Beam	44
5(a)	Example 4: Twenty-Story Frame - Geometry	45
5(b)	do. - Full System Model	45
5(c)	do. - Model 20 A	45
5(d)	do. - Model 20 B	45
5(e)	do. - Horizontal Displacement Response at Top Story	46
5(f)	do. - Response of Moment at the End of Exterior Second Floor Beam	47
5(g)	do. - Response of Base Moment of Interior Column	48

LIST OF TABLES

Table	Title	Page
1	Example 2: Member Properties for the Five Story Frame	49
2	Example 2: Natural Periods (in seconds) and Errors for the Five-Story Frame	49
3	Example 2: Maximum Horizontal Displacement at Top Story and Maximum Normalized Moment at the End of Second Floor Beam of the Five-Story Frame	50
4	Example 3: Natural Periods (in seconds) and Percentage Errors (in Parentheses) for the Ten-Story Frame	50
5	--- Example 3: Maximum Horizontal Displacement at Top Story and Maximum Normalized Moment at Column Base of the Ten-Story Frame.	51
6	Example 4: Member Properties for the Twenty-Story Frame	51
7	Example 4: Natural Periods (in seconds) and Percentage Errors (in Parentheses) for the Twenty-Story Frame	52
8	Example 4: Maximum Horizontal Displacement at Top Story and Maximum Normalized Moment at Left End of Exterior Second Floor Beam of the Twenty-Story Frame	53
9	Example 4: C.P.U. Time of the Twenty-Story Frame Analyses	53

LISTS OF SYMBOLS

A	= cross-sectional area
[A]	= displacement transformation matrix defined in Eq. (23)
[B]	= axial strain-nodal displacement transformation matrix
d	= depth of cross section
[D]	= matrix of elasticity constants
E	= modulus of elasticity
f_y	= yield function
{h}	= nodal internal force vector
{h*}	= reduced nodal internal force vector
I	= moment of inertia
[I]	= identity matrix
[K]	= elastic stiffness matrix
[K*]	= reduced stiffness matrix
L	= length of an element
M, M _o	= moment, plastic moment
N	= axial force, matrix of displacement shape functions
N _o	= plastic axial force
[M]	= mass matrix
[M*]	= reduced mass matrix
n	= a material constant, number of degree of freedom
{R}	= external nodal force vector
{R*}	= reduced external force vector
[T]	= defined in Eq. (61)
k _T	= kinetic energies

t = time
 $\{u\}$ = global nodal displacement vector
 u, v = local displacement at a point
 k_U = internal energies
 $\delta \dot{U}$ = total rate of internal virtual work done
 \ddot{u}_g = ground acceleration
 v = volume of an element
 $\dot{\delta W}_E$ = the rate of virtual work done by the external loads
 $\{x\}$ = vector of modal coordinates
 x_j = modal coordinate associated with the j^{th} mode
 Z = plastic section modulus
 δ = denotes the change between two successive iterations, virtual value
 $\{^{k+1} \delta R\}$ = defined in Eq. (44)
 $\epsilon, \dot{\epsilon}$ = axial strain, axial strain rate
 $\{\dot{\epsilon}\}$ = vector of the strain rate components
 ϵ_1, ϵ_2 = convergence tolerance
 ρ = mass density
 $\sigma, \sigma_0, \sigma_d$ = stress, static yield stress, dynamic yield stress
 $\{\dot{\sigma}\}$ = the vectors of the stress rate components
 $\{\dot{\sigma}\}^{(n)}$ = the nonlinear part due to viscoplastic flow
 τ = a material constant
 Δ = denotes the change during the time step
 ΔF_j = defined in Eq. (50)
 $\{\Delta h^{(n)}\}$ = incremental inelastic nodal force vector
 Δt = time step

- { η } = simplified displacement transformation matrix, defined in Eq. (46)
- [ϕ] = matrix whose columns are the mode shapes associated with free vibration
- { ϕ_j } = eigen vector associated with j^{th} mode
- ω_j = angular frequency associated with j^{th} mode